

Jürgen Schwarz

Behandlung von Polynomen – Teil 5*

Stichwörter:

Polynom, HP-BASIC, Laplace-Transformation, Approximation, Ausgleichsrechnung

Hardware:

HP 9845 B mit SP ROM

9 Polynome und LAPLACE-Transformation

An dieser Stelle sollen nun nicht die Grundlagen der LAPLACE-Transformation niedergelegt werden. Darüber existiert viel Literatur, z. B. [13 – 15]. Hier soll auch eine Beschränkung auf die Fälle erfolgen, in denen im Bildbereich ganzrationale und insbesondere gebrochenrationale Funktionen entsprechend Gl. (43) auftreten. Trotz dieser Einschränkung wird aber damit bereits ein großer Teil der praktisch bedeutsamen Funktionen eingeschlossen, so alle ganzrationalen Polynome, die trigonometrischen, Hyperbel- und Exponentialfunktionen im Zeitbereich und auch bestimmte Kombinationen davon.

9.1 Transformation aus dem Zeit- in den Bildbereich

Die Transformation aus dem Zeitbereich in den Bildbereich der LAPLACE-Transformation bereitet i. allg. die wenigsten Schwierigkeiten. Mit Hilfe von Tafelwerken, die die Korrespondenzen $F(p) \longleftrightarrow f(t)$ enthalten, kann man die Transformation einfach durchführen. Dies sei an einem wichtigen Beispiel erläutert.

*Teil 4: s. CAL-Comp. Anw. Lab. 3 (1985) 224.

Jürgen Schwarz, Wiesbadener Straße 59 C, 1000 Berlin 33

Im ersten Teil dieser Serie wurden SUB-Programme für die rationalen Operationen mit Polynomen abgeleitet, der zweite Teil beinhaltete die Nullstellenbestimmung von Polynomen und im dritten Teil wurden Algorithmen zur Berechnung des größten gemeinsamen Teilers von zwei Polynomen und einige Bemerkungen zur Datensicherung angegeben. Der vierte Teil behandelte das HORNER'sche Schema und seine Implementationen. Während in den ersten drei Teilen dieser Serie einige Grundlagen zur Bearbeitung und Bestimmung der Eigenschaften von Polynomen abgeleitet wurden, soll nun weiter auf die Anwendung dieser SUB-Programme eingegangen werden. Wie bereits im Abschnitt 1 erwähnt, werden die Polynome in den hier zu besprechenden Anwendungsfällen als Approximations- und Ausgleichsfunktionen verwendet. Kommt dabei direkt eine Polynomapproximation zum Einsatz, so genügen i. allg. die bereits abgeleiteten SUB-Programme zur weiteren Verarbeitung. Anders sieht es aus, wenn die Polynome im Bildbereich der LAPLACE-Transformation verwendet werden.

Untersucht man das thermische Verhalten von Halbleiterbauelementen bei einer Erregung durch einen Leistungssprung, so müssen meist Messungen über einen großen Zeitbereich durchgeführt werden ($> 1:1000$). Die dabei erhaltenen Meßergebnisse werden punktweise (zu definierten Zeitpunkten) gespeichert. Aus diesen Stützstellen werden dann geeignete Ausgleichskurven errechnet. Als Ansatz haben sich Exponentialsummen

$$f(t) = R_0 + \sum_{i=1}^m R_i (1 - e^{-t/\tau_i}) \quad (77)$$

bewährt. Dieser Ansatz hat mehrere Vorteile. Zuerst verhält er sich „gutartig“. Weil sich die einzelnen Terme streng monoton verhalten, sind zufällige Extremwerte, wie sie bei Polynomansätzen häufig auftreten, i. allg. auszuschließen. Ein weiterer Vorteil ist darin zu sehen, daß der Ansatz auch für große Zeitbereiche geeignet ist und ohne weiteres Extrapolationen über die Meßgrenzen hinaus gestattet. Für große Zeiten strebt er gegen einen festen Endwert. Außerdem entspricht der Ansatz auch der Theorie der Wärmeleitung. Wird die Wärmeleitungsgleichung in Ortsrichtung diskretisiert, dann sind die Lösungen Gleichungen der Art von Gl. (77) [16]. Auch bei der Anwendung des BEUKEN-Modells [17] trifft dies zu. Außer

der bereits zitierten Arbeit [2] seien mit [18 – 19] noch zwei Arbeiten aus der deutschsprachigen Literatur zitiert, die sich mit der Exponentialsummenzerlegung nach Gl. (77) befassen.

Zur Transformation von Gl. (77) in den Bildbereich notieren wir zuerst drei erforderliche Korrespondenzen [15]

$$c_1 f_1(t) + c_2 f_2(t) \longleftrightarrow c_1 F_1(p) + c_2 F_2(p) \quad (78)$$

$$\epsilon(t) = \begin{cases} 0 & \text{für } t < 0 \\ 1 & \text{für } t > 0 \end{cases} \longleftrightarrow \frac{1}{p} \quad (79)$$

$$\exp(\pm \alpha t) \longleftrightarrow \frac{1}{p \pm \alpha} \quad (80)$$

Nach Umschreiben von Gl. (77) in

$$f(t) = (R_0 + \sum_{i=1}^m R_i) - \sum_{i=1}^m R_i e^{-t/\tau_i} \quad (81)$$

$$\text{ergibt sich für } F(p) \quad (82)$$

$$F(p) = (R_0 + \sum_{i=1}^m R_i) \frac{1}{p} - \sum_{i=1}^m \frac{R_i}{p - \frac{1}{\tau_i}}$$

Diese Gleichung kann durch Erweitern mit τ_i und Zusammenfassen der Elemente, die R_i enthalten, in

$$F(p) = \frac{1}{p} \left[R_0 + \sum_{i=1}^m \frac{R_i}{1 + p \tau_i} \right] \quad (83)$$

umgewandelt werden.

Im allgemeinen ist es zweckmäßig, zur Berechnung der Ausgleichsfunktion nach Gl. (77) nicht direkt die gemessenen Temperaturen heranzuziehen. Günstiger ist es, den gemessenen Temperaturverlauf auf eine Bezugstemperatur T_A und den bereits erwähnten Leistungssprung P_J mit der Gleichung

$$T_{XA}^*(t) = \frac{T_X(t) - T_A}{P_J} \quad | \quad T_A, P_J = \text{const.} \quad (84)$$

zu beziehen. T_{XA}^* hat dann die Dimension eines thermischen Widerstandes [K/W]. Auch die Elemente R_i von Gl. (77) haben dann diese Einheit. $F(p)$ stellt demzufolge den bezogenen Temperaturverlauf bei einem Verlustleistungssprung P_J bei $t=0$ dar. Wird dieser Sprung bei $t=0$ auch aus Gl. (83) „herausgekürzt“, so entspricht die verbleibende Summe

$$Z_{GA}(p) = \frac{Z_{GA}(p)}{n_{GA}(p)} = R_0 + \sum_{i=1}^m \frac{R_i}{1 + p \tau_i} \quad (85)$$

der thermischen Impedanz einer Ersatzschaltung nach Bild 4.

Zur Berechnung von $Z_{GA}(p)$ dient das SUB-Programm Rc_zp_pb (Listing 17). Zum Verständnis wird Gl. (85) ausmultipliziert

$$Z_{GA}(p) = \frac{R_0 \prod_{i=1}^m (1 + p \tau_i) + \sum_{i=1}^m R_i \prod_{j=1, j \neq i}^m (1 + p \tau_j)}{\prod_{i=1}^m (1 + p \tau_i)} \quad (86)$$

In den Zeilen 480 bis 530 erfolgt die Berechnung des Nennerpolynoms von Gl. (86) mit Hilfe von Gl. (6), hier speziell mit $m = \text{const.} = 1, b_0 = 1$ und $b_1 = \tau_i$, wobei insgesamt n -mal multipliziert wird. Die Berechnung des Zählerpolynoms erfolgt in den Zeilen 550 bis 680 konsequent nach Gl. (86).

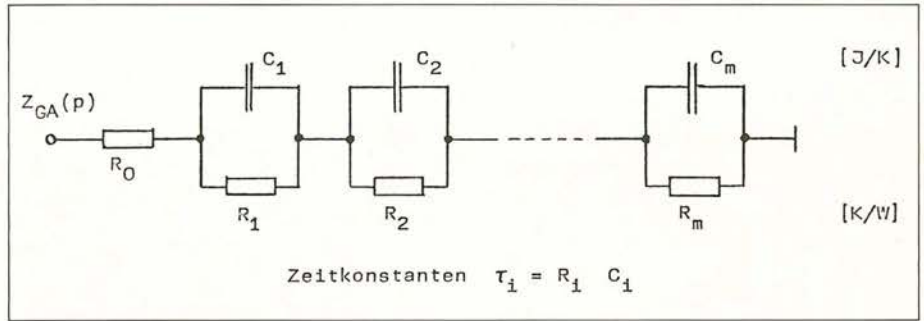


Bild 4: Elektrisches Ersatzschaltbild für die Ausgleichskurve eines gemessenen thermischen Verhaltens.

In das Programm wurde eine Fallunterscheidung eingearbeitet, die vorab prüft, ob R_0 vorhanden ist (Ch\$ = „C“) oder nicht (Ch\$ = „H“), da dies entscheidend für den Grad des Zählerpolynoms und damit auch für die Rücktransformation ist. Auch wird vorab geprüft, ob die Ersatzschaltung nach Bild 4 kanonisch ist, d.h. ob nicht zufällig zwei (oder mehr) Zeitkonstanten gleich groß sind. Ohne diese Prüfung könnten sich für $z_{GA}(p)$ und $n_{GA}(p)$ gleiche Wurzeln ergeben, was entsprechend den Ausführungen von Abschnitt 6 nach Möglichkeit vermieden werden sollte.

9.2 Transformation aus dem Bild- in den Zeitbereich in einfachen Fällen

Gegeben sei eine gebrochene rationale Funktion

$$F(p) = \frac{Z(p)}{N(p)}, \quad \text{gr}(Z) < \text{gr}(N) = n \quad (87)$$

im Bildbereich der LAPLACE-Transformation, die in den Zeitbereich transformiert werden soll. Allgemein soll der Grad des Zählerpolynoms kleiner als der des Nennerpolynoms sein, sonst ließe sich von $F(p)$ ein ganzrationaler Anteil abspalten, der in den Zeitbereich transformiert, den DIRAC-Impuls und seine Ableitungen ergeben würde. Diese Fälle sollen hier ausgeschlossen sein, können aber mit dem Divisionsprogramm nach Listing 8 gelöst werden (siehe Abschnitt 9.5).

Zunächst sei außerdem vorausgesetzt, daß das Nennerpolynom nur einfache reelle Nullstellen besitze, die mit p_i bezeichnet werden sollen. Bekanntlich läßt sich dann die Gl. (87) in Partialbrüche

$$F(p) = \frac{Z(p)}{N(p)} = \frac{R_1}{p - p_1} + \frac{R_2}{p - p_2} + \dots + \frac{R_n}{p - p_n} = \sum_{i=1}^n \frac{R_i}{p - p_i} \quad (88)$$

zerlegen. Zur Berechnung der Konstanten R_i multipliziert man die Gl. (88) mit $(p - p_i)$ und erhält den Ausdruck

$$(p - p_i) F(p) = R_i + (p - p_i) \sum_{j=1, j \neq i}^n \frac{R_j}{p - p_j} \quad (89)$$

Bestimmt man jetzt den Wert dieses Ausdrucks für $p = p_i$, so wird der rechte Term null und es bleibt der unbestimmte Ausdruck

$$R_i = (p - p_i) F(p) = (p - p_i) \frac{Z(p)}{N(p)} \quad (90)$$

Mit Hilfe der Regel von l'HOSPITAL läßt sich

$$\lim_{p \rightarrow p_i} (p - p_i) \frac{Z(p)}{N(p)} = \frac{\frac{d}{dp} [(p - p_i) Z(p)]}{\frac{d}{dp} N(p)} = \frac{Z(p_i)}{N'(p_i)} \quad (91)$$

ableiten, womit sich für die Koeffizienten R_i die Gleichung

$$R_i = \frac{Z(p_i)}{N'(p_i)} \quad (92)$$

aufschreiben läßt. Mit Hilfe der Korrespondenzbeziehungen nach den Gln. (78 – 80) folgt daraus der „Entwicklungssatz von HEAVISIDE“

$$F(p) = \frac{Z(p)}{N(p)} \longleftrightarrow f(t) = \sum_{i=1}^n \frac{Z(p_i)}{N'(p_i)} e^{p_i t}, \quad n = \text{gr}(N) \quad (93)$$

```

10 SUB Rc_zp_pb<INTEGER N,N_stern,Kan,Ch$,REAL Rp(*),Taup(*),Z_ga(*),N_ga(*))
20 |
30 | SUB-Programm Rc_zp_pb zur Berechnung der Impedanzfunktion
40 | eines Zweipoles aus RC-Gliedern in Partialbruchschaltung
50 |
60 | Eingabedaten:
70 |     n           ... Anzahl der RC-Glieder
80 |     Ch$        ... "C" für Modell "case-ambient" [mit Rp(0)]
90 |               ... "H" für Modell "heatsink-ambient" [ohne Rp(0)]
100 |     Rp(*)      ... Widerstände der Partialbruchschaltung
110 |               (0:n) für Ch$="C" bzw. (1:n) für Ch$="H"
120 |     taup(1:n)  ... Zeitkonstanten der Partialbruchschaltung
130 |
140 | Ergebnis:
150 |     n_stern    ... charakteristischer Wert der Polynomgrößen der
160 |               Impedanz: n-1 für Ch$="H" bzw. n für Ch$="C"
170 |     kan        ... 1 für eine kanonische Partialbruchschaltung,
180 |               sonst 0 (und ohne Lösung)
190 |     Z_ga(0:n_stern) ... Zählerpolynom des Impedanz
200 |     N_ga(0:n)   ... Nennerpolynom der Impedanz
210 |
220 | (c) 1985 by Jürgen Schwarz           Sprache: HP-BASIC       Datum: 25.04.85
230 | Speichermedium: Kassetten 57/58    File-Name: RC_ZPP      Version: 1.3
240 |
250 INTEGER I,J,K
260 REAL Taup_stern(1:N+1),Z_ga_stern(0:N)
270 |
280 IF (Ch$="c") OR (Ch$="C") THEN
290   REDIM Rp(0:N)
300   N_stern=N
310   IF N>0 THEN REDIM Taup(1:N)           ! Für n=0 kein tau vorhanden
320 ELSE
330   REDIM Rp(1:N),Taup(1:N)
340   N_stern=N-1
350 END IF
360 MAT Z_ga=ZER
370 MAT N_ga=ZER
380 REDIM Z_ga(0:N_stern),N_ga(0:N)
390 |
400 MAT Taup_stern=Taup
410 MAT SORT Taup_stern
420 Kan=1
430 FOR I=2 TO N
440   Kan=Kan AND (Taup_stern(I-1)<>Taup_stern(I))
450 NEXT I
460 IF NOT Kan THEN SUBEXIT ! die Partialbruchschaltung ist nicht kanonisch
470 |
480 N_ga(0)=1
490 FOR I=1 TO N
500   FOR J=I TO 1 STEP -1
510     N_ga(J)=N_ga(J)+N_ga(J-1)*Taup(I)
520   NEXT J           ! Parameter des Nennerpolynoms der Impedanz
530 NEXT I
540 |
550 IF (Ch$="c") OR (Ch$="C") THEN MAT Z_ga=(Rp(0))*N_ga
560 MAT Taup_stern=Taup
570 FOR I=N TO 1 STEP -1
580   IF I<N THEN Taup_stern(I)=Taup(I+1)
590   MAT Z_ga_stern=ZER(0:N_stern)
600   Z_ga_stern(0)=1
610   FOR J=1 TO N-1
620     FOR K=J TO 1 STEP -1
630       Z_ga_stern(K)=Z_ga_stern(K)+Z_ga_stern(K-1)*Taup_stern(J)
640     NEXT K
650   NEXT J
660   MAT Z_ga_stern=(Rp(I))*Z_ga_stern
670   MAT Z_ga=Z_ga+Z_ga_stern
680 NEXT I           ! Parameter des Zählerpolynoms der Impedanz
690 SUBEND

```

Listing 17: SUB-Programm zur Transformation gemessener Verläufe in den Bildbereich der Laplace-Transformation.

SERIEN

Bei der Durchführung der Transformation in den Bildbereich mit Hilfe der Gl. (85) wurde der Anteil $1/p$ aus formalen Gründen weggelassen. Er muß natürlich bei der Rücktransformation wieder einfließen. Liegt also eine Funktion

$$F(p) = \frac{Z(p)}{p N(p)} \quad (94)$$

vor, die entsprechend zu behandeln ist, so ergibt Gl. (93) mit $N^*(p) = p N(p)$ und

$$\begin{aligned} \frac{d}{dp} N^*(p) &= \frac{d}{dp} p N(p) \\ &= N(p) + p N'(p) \end{aligned} \quad (95)$$

sowie Abtrennen der Nullstelle $p_0 = 0$ die Lösung

$$F(p) = \frac{Z(p)}{p N(p)} \longleftrightarrow f(t) = \quad (96)$$

$$\frac{Z(0)}{N(0)} + \sum_{i=1}^n \frac{Z(p_i)}{p_i N'(p_i)} e^{p_i t}, \quad n = \text{gr}(N)$$

Ist hier $\text{gr}(Z) < \text{gr}(N)$ so gilt wegen des Grenzwerttheorems [15]

$$\lim_{t \rightarrow 0} f(t) = \lim_{p \rightarrow \infty} p F(p) = 0 \quad (97)$$

und damit

$$\frac{Z(0)}{N(0)} + \sum_{i=1}^n \frac{Z(p_i)}{p_i N'(p_i)} = 0 \quad (98)$$

Unter dieser Bedingung läßt sich die Korrespondenz (96) auch in der Form

$$F(p) = \frac{Z(p)}{p N(p)} \longleftrightarrow f(t) = \quad (99)$$

$$\sum_{i=1}^n \frac{-Z(p_i)}{p_i N'(p_i)} (1 - e^{-t/\tau_i}),$$

$$\text{gr}(Z) < \text{gr}(N) = n, \quad \tau_i = -\frac{1}{p_i}$$

aufschreiben.

Dieser Rücktransmutationsalgorithmus ist im Listing 18 implementiert, weil er in vielen Fällen die Lösung liefert. Selbstverständlich kann man auf praktisch analoge Weise die Korrespondenzbeziehungen (93) und (96) implementieren. Die Berechnung der Nullstellen erfolgt zweckmäßig mit dem SUB-Programm Newton_mod analog zu Listing 5 [8]. In den Zeilen 400

```

10  SUB Rc_t0_pb(INTEGER N,REAL Z(*),N(*),N_0(*),R_p(*),Tau_p(*))
20  !
30  ! SUB-Programm Rc_t0_pb zur Durchführung einer Transformation
40  ! aus dem Bildbereich der Laplace-Transformation in den Zeitbereich
50  ! bei gegebenen Zähler- und Nennerpolynomen der zu berechnenden Größe
60  ! und den bereits vorab berechneten Nullstellen des Nenners und
70  ! Anregung durch einen Einheitssprung (1/p)
80  !
90  ! Anwendung des Entwicklungssatzes von Heaviside bei einfachen, reellen
100 ! Nullstellen auf der negativen reellen Achse
110 !
120 ! Eingabedaten:  n          ... Grad des Nennerpolynoms
130 !               Z(0:*)    ... Zählerpolynom im Bildbereich (Max.: 0:n-1)
140 !               N(0:n)    ... Nennerpolynom im Bildbereich
150 !               N_0(1:n)  ... Nullstellen des Nennerpolynoms
160 ! Ergebnis:     R_p(1:n)  ... Parameter der Lösung im Zeitbereich
170 !               tau_p(1:n) ... Parameter der Lösung im Zeitbereich
180 !
190 !
200 ! Lösung:       f(t) = Summe R_p * (1 - exp(-t/tau_p))
210 !               i=1
220 !
230 ! (c) 1985 by Jürgen Schwarz      Sprache: HP-BASIC      Datum: 25.04.85
240 ! Speichermedium: Kassetten 57/58 File-Name: RC_th0      Version: 1.3
250 !
260  INTEGER I,J
270  REAL N_0,R_zaeher,R_nenner,Z_stern(0:N-1)
280  !
290  MAT Z_stern=Z
300  MAT R_p=ZER
310  MAT Tau_p=ZER
320  REDIM Z_stern(0:N-1),N(0:N),N_0(1:N),R_p(1:N),Tau_p(1:N)
330  !
340  ! Zerlegung mit dem "Entwicklungssatz von Heaviside"
350  !
360  FOR I=1 TO N
370  N_0=N_0(I)
380  Tau_p(I)=-1/N_0
390  R_nenner=R_zaeher=0
400  FOR J=N-1 TO 0 STEP -1
410  R_zaeher=Z_stern(J)+N_0*R_zaeher
420  R_nenner=(J+1)*N(J+1)+N_0*R_nenner
430  NEXT J
440  R_p(I)=-R_zaeher/(N_0*R_nenner)
450  NEXT I      ! Bewertung der jeweiligen Zeitkonstante
460  SUBEND

```

Listing 18: Einfaches Rücktransmutations-SUB-Programm für Nennerpolynome mit einfachen reellen Nullstellen.

bis 430 erfolgt die Funktionsberechnung des Zählerpolynoms und die der Ableitung des Nennerpolynoms $N'(p_i)$ mit dem einfachen HORNER'schen Schema. Sonst zeigt das SUB-Programm keine Besonderheiten.

9.3 Rücktransformation beim Auftreten konjugiert komplexer Nullstellen des Nennerpolynoms

Die Korrespondenzbeziehung (96) gilt selbstverständlich auch beim Auftreten komplexer, einfacher Nullstellen des Nennerpolynoms. Die Nullstellen treten paarweise konjugiert

$$\begin{aligned} p_i &= \sigma + i\omega \\ p_{i+1} &= \sigma - i\omega \end{aligned} \quad (100)$$

auf und mit Hilfe der EULER'schen Formel [12]

$$e^{i\omega t} = \cos \omega t + i \sin \omega t \quad (101)$$

erhält man

$$\frac{Z(p_i)}{p_i N'(p_i)} e^{p_i t} + \frac{Z(p_{i+1})}{p_{i+1} N'(p_{i+1})} e^{p_{i+1} t} = e^{\sigma t} (A \cos \omega t + B \sin \omega t) \quad (102)$$

mit

$$\begin{aligned} Z(\sigma + i\omega) &= r_Z + i i_Z & Z(\sigma - i\omega) &= r_Z - i i_Z \\ (\sigma + i\omega) N'(\sigma + i\omega) &= r_N + i i_N & (\sigma - i\omega) N'(\sigma - i\omega) &= r_N - i i_N \end{aligned} \quad (103)$$

und daraus unter Verwendung der Gl. (74)

$$A = 2 \frac{r_Z r_N + i_Z i_N}{r_N^2 + i_N^2} \quad (104)$$

$$B = 2 \frac{r_Z i_N - i_Z r_N}{r_N^2 + i_N^2}$$

Durch die Tatsache, daß die zwei Funktionswerte eines Polynoms mit zwei konjugiert komplexen Argumenten ebenfalls konjugiert komplex sind (Gl. (103)), was man durch Betrachten der Gl. (69) sofort einsieht, ergibt sich, daß die Lösung (102) reell ist. Diese läßt sich leicht in die gewünschte Form

$$R_i e^{-\nu t} \cos(\omega_i + \varphi_i) \quad (105)$$

bringen, wobei hier

$$R_i = \sqrt{A^2 + B^2} \quad (106)$$

und

$$\varphi_i = -\arctan \frac{B}{A} \quad (107)$$

sind. Bei Gl. (107) sind zusätzlich die Beziehungen zu den einzelnen Quadranten zu beachten.

Listing 19 zeigt ein entsprechendes SUB-Programm. Die z. B. mit SILJAK (Listing 6) berechneten Nullstellen des Nennerpolynoms werden bei Aufruf des Programms mit angefordert. Diese Verfahrensweise ist zweckmäßig, wenn Berechnungen mit mehreren Zählerpolynomen und gleichem Nennerpolynom durchgeführt werden sollen (siehe Listing 22). Sonst kann der Aufruf von SILJAK auch innerhalb von Pb_he erfolgen.

Da SILJAK die Lösung in unregelmäßiger Folge liefert, werden diese in den Zeilen 600 bis 720 erst nach der Größe ihres Realteiles sortiert. In den Zeilen 740 bis 930 wird geprüft, ob die berechneten komplexen Wurzeln auch konjugiert auftreten. Die Wurzeln mit negativem Imaginärteil werden „gelöscht“. Anschließend werden die Koeffizienten des Nennerpolynoms $p N'(p)$ berechnet. Dann erfolgt die Abarbeitung nach dem oben abgeleiteten Al-

gorithmus. Zur Berechnung der Funktionswerte der Polynome werden die Programme FNHorner (Listing 11) und Komplex_horner (Listing 15) eingesetzt.

Gestattet der einzusetzende Rechner den Einsatz von Funktionsunterprogrammen und SUB-Programmen nicht, so kann man das in Listing 20 ausschnittsweise gezeigte äquivalente Programm ohne SUB-Programmaufruf einsetzen. Bei einer reellen Nullstelle arbeitet es wie das in Listing 18 vorgestellte Programm und bei einer rein imaginären Nullstelle wird die Tatsache berücksichtigt, daß die einzelnen Terme der Polynome rein reelle oder rein imaginäre Glieder liefern, je nachdem, ob die Potenz des Arguments gerade oder ungerade ist:

- $i^0 \Rightarrow$ reellen Teil
 - $i^1 \Rightarrow$ imaginären Teil
 - $i^2 \Rightarrow$ negativen reellen Teil
 - $i^3 \Rightarrow$ negativen imaginären Teil
 - $i^4 \Rightarrow$ reellen Teil
- usw.

Bei einer konjugiert komplexen Nullstelle wird zur Berechnung das im Abschnitt 8.4 vorgestellte Verfahren verwendet. Die Wertzuweisung an die Matrizen erfolgt hier unter Verwendung von zwei Matrizen $\text{Real}(\ast)$ und $\text{Imag}(\ast)$, die jeweils die reelle Einheit 1 und die imaginäre Einheit i repräsentieren. Die Addition der mit den Real- und Imaginärteilen bewerteten Matrizen $X(\ast)$ und $Y(\ast)$ in den Zeilen 1440 bis 1460 führt schließlich zu der Repräsentation der komplexen Nullstelle. Die Division des Wertes des Zählerpolynoms durch den Wert des Nennerpolynoms wird hier durch Inversion nach Gl. (76) vorgenommen. Nach Ausgabe der Anteile der Kosinus- und der Sinusanteile erfolgt die Abarbeitung völlig analog zu Listing 19.

9.4 Rücktransformation bei mehrfachen (reellen und komplexen) Nullstellen

Beim Auftreten von mehrfachen Nennernullstellen in Gl. (87) versagen die bisher abgeleiteten Gleichungen, da dann die Ableitung des Nennerpolynoms an der Nullstelle ebenfalls null ist. Das Nennerpolynom kann nach Gl. (10) in der Form

$$N(p) = (\rho - p_1)^{\nu_1} (\rho - p_2)^{\nu_2} \dots (\rho - p_n)^{\nu_n} \quad (108)$$

dargestellt werden. Die Partialbruchzerlegung von Gl. (87) hat hier folgende Form:

$$\begin{aligned} \frac{Z(p)}{N(p)} &= \frac{C_{11}}{(\rho - p_1)} + \frac{C_{12}}{(\rho - p_1)^2} + \dots + \frac{C_{1\nu_1}}{(\rho - p_1)^{\nu_1}} + \dots \\ &\dots + \frac{C_{n1}}{(\rho - p_n)} + \dots + \frac{C_{n\nu_n}}{(\rho - p_n)^{\nu_n}} \\ &= \sum_{i=1}^n \sum_{j=1}^{\nu_i} \frac{C_{ij}}{(\rho - p_i)^j} \quad (109) \end{aligned}$$

Zur Berechnung der unbekanntenen Konstanten C_{ij} multipliziert man die Gleichung mit $(\rho - p_i)^{\nu_i}$ und untersucht die gewonnene Beziehung an der Stelle $p = p_i$. Analog zu der Ableitung nach Gl. (90) bleibt nur der Term $C_{i\nu_i}$ auf der rechten Seite stehen und eine entsprechende Grenzwertbetrachtung liefert schließlich

SERIEN

Listing 19: Rücktransmutationsprogramm mit Berücksichtigung aller einfachen Nullstellen (reell und komplex).

```

10  SUB Pb_he(Z(*),N(*),R_0(*),I_0(*),R(*),Tau(*),Om(*),Phi(*),Ep,INTEGER N,M)
20  !
30  ! SUB-Programm Pb_he zur Durchführung der Laplace-Rücktransformation
40  ! aus dem Bildbereich in den Originalbereich
50  !
60  ! Gegeben: gebrochen rationale Bildfunktion  $F(p) = Z(p)/N(p)$ ,
70  !         die mit einem Sprung  $(1/p)$  angeregt wird
80  !
90  ! Verfahren:
100 ! Partialbruchzerlegung und Anwendung des Entwicklungssatzes von Heaviside
110 ! bei bereits berechneten, einfachen Nullstellen des Nenners
120 !
130 ! Eingangsgrößen:
140 !     n           ... Grad des Nennerpolynoms (ohne Sprung)
150 !     Z(0:*)     ... Koeffizienten des Zählerpolynoms (Max.: 0:n)
160 !     N(0:n)     ... Koeffizienten des Nennerpolynoms (ohne Sprung)
170 !     R_0(1:n)   ... Realteile der Nullstellen des Nennerpolynoms
180 !     I_0(1:n)   ... Imaginärteile der Nullstellen des Nennerpolynoms
190 !     ep        ... Größe für die Genauigkeit der Nullstellen bei
200 !               der Prüfung auf konjugiert komplexe Nullstellen
210 !
220 ! Form des Ergebnisses:
230 !
240 !  $f(t) = R_0 + \text{Summe} [ R_i * \exp(-t/\tau_i) ] + \dots$ 
250 !        $\dots + \text{Summe} [ R_i * \exp(-t/\tau_i) * \cos(\omega_i t + \phi_i) ]$ 
260 !
270 ! Ausgangsgrößen:
280 !     n           ... Grad des Nennerpolynoms (ohne Sprung)
290 !     m           ... Anzahl der Elemente im Zeitbereich ( $m \leq n$ )
300 !     R (0:m)    ... Proportionalanteile der Lösung
310 !     tau(1:m)   ... Zeit- bzw. Dämpfungskonstanten der Lösung
320 !     om (1:m)   ... Kreisfrequenzen der Lösung
330 !     phi(1:m)   ... Phasenlagen der Lösung
340 !
350 ! (c) 1985 by Jürgen Schwarz           Sprache: HP-BASIC           Datum: 01.06.85
360 ! Speichermedium: Kassetten 73/74     File-Name: Heavis           Version: 1.1
370 !
380  INTEGER Boo_r,Boo_i,Dround,I,J
390  REAL A_cos,A_sin,R_0,I_0,R_zaeher,R_nenner,I_zaeher,I_nenner
400  REAL Z_st(0:N),N_st(0:N),R_0_st(1:N),I_0_st(1:N)
410  !
420  IF (N<=0) OR (Ep<=0) THEN PAUSE           ! widersprüchliche Eingabedaten
430  MAT Z_st=Z
440  REDIM Z_st(0:N),N(0:N),R_0(1:N),I_0(1:N)
450  MAT R=ZER
460  MAT Tau=ZER
470  MAT Om=ZER
480  MAT Phi=ZER
490  REDIM R(0:N),Tau(1:N),Om(1:N),Phi(1:N)
500  !
510  M=N
520  R(0)=Z_st(0)/N(0)
530  IF N=1 THEN
540     R(1)=Z_st(1)/N(1)-Z_st(0)/N(0)
550     Tau(1)=N(1)/N(0)
560     Om(1)=Phi(1)=0           ! Bewertung so, daß  $\cos(0*t+\phi)=1$  ist
570  SUBEXIT
580  END IF
590  !
600  MAT R_0_st=R_0
610  MAT I_0_st=ZER
620  MAT SORT R_0_st           ! Sortierung nach aufsteigenden Zeitkonstanten
630  MAT Tau=R_0
640  FOR I=1 TO N
650     J=0
660     REPEAT
670         J=J+1
680         UNTIL R_0_st(I)=Tau(J)
690         Tau(J)=9.999999999999E99
700         IF ABS(I_0_st(J))>=Ep*ABS(R_0_st(I)) THEN I_0_st(I)=I_0_st(J)
710         IF ABS(R_0_st(I))<Ep*ABS(I_0_st(I)) THEN R_0_st(I)=0
720     NEXT I
730  !

```

SERIEN

Listing 19, Fortsetzung

```

740 Dround=INT(LGT(Ep))
750 I=0
760 REPEAT
770   I=I+1
780   IF I_0_st(I)<>0 THEN
790     IF I+1>M THEN Un_konj
800     Boo_r=(DROUND(R_0_st(I),Dround)=DROUND(R_0_st(I+1),Dround))
810     Boo_i=(DROUND(I_0_st(I),Dround)=-DROUND(I_0_st(I+1),Dround))
820     IF NOT (Boo_r AND Boo_i) THEN Un_konj
830     M=M-1
840     R_0_st(I)=.5*(R_0_st(I)+R_0_st(I+1))
850     I_0_st(I)=ABS(.5*(I_0_st(I)-I_0_st(I+1)))
860     FOR J=I+1 TO M
870       R_0_st(J)=R_0_st(J+1)
880       I_0_st(J)=I_0_st(J+1)
890     NEXT J
900     REDIM R_0_st(1:M),I_0_st(1:M)
910   END IF
920 UNTIL I>=M
930 REDIM R(0:M),Tau(1:M),Om(1:M),Phi(1:M)
940 !
950 N_st(0)=0
960 FOR I=1 TO N
970   N_st(I)=I*N(I)           ! Berechnung von p * d N(p)/d p
980 NEXT I
990 FOR I=1 TO M
1000  R_0=R_0_st(I)           ! Realteil der Nullstelle
1010  Om(I)=I_0=I_0_st(I)    ! Imaginärteil der Nullstelle
1020  IF I_0=0 THEN          ! rein reelle Nullstelle
1030    R(I)=FNHorner(N,R_0,Z_st(*))/FNHorner(N,R_0,N_st(*))
1040    Tau(I)=-1/R_0
1050    Om(I)=Phi(I)=0       ! Bewertung so, daß cos(0*t+phi)=1 ist
1060  ELSE                   ! konjugierte komplexe Nullstelle
1070    Om(I)=I_0
1080    IF R_0=0 THEN        ! rein imaginäre Nullstelle
1090      Tau(I)=9.999999999999999E99 ! tau strebt gegen unendlich
1100    ELSE                 ! konjugiert komplexe Nullstelle
1110      Tau(I)=-1/R_0
1120    END IF
1130    CALL Komplex_horner(N,R_0,I_0,Z_st(*),R_zaeher,I_zaeher)
1140    CALL Komplex_horner(N,R_0,I_0,N_st(*),R_nenner,I_nenner)
1150    A_cos=2*(R_zaeher*R_nenner+I_zaeher*I_nenner)
1160    A_sin=2*(R_zaeher*I_nenner-I_zaeher*R_nenner)
1170    IF A_cos THEN
1180      IF A_cos>=0 THEN
1190        Phi(I)=ATN(-A_sin/A_cos)
1200        IF Phi(I)<0 THEN Phi(I)=Phi(I)+2*PI
1210      ELSE
1220        Phi(I)=ATN(-A_sin/A_cos)+PI
1230      END IF
1240    ELSE
1250      Phi(I)=PI*(1+.5*SGN(A_sin))
1260    END IF
1270    R(I)=SQR(A_cos*A_cos+A_sin*A_sin)
1280    R(I)=R(I)/(R_nenner*R_nenner+I_nenner*I_nenner)
1290  END IF
1300 NEXT I
1310 SUBEXIT
1320 !
1330 Un_konj: !
1340 PRINT "Fehler bei der Nullstellenbestimmung."
1350 PRINT "Es liegt eine unkonjugiert komplexe Nullstelle vor!"
1360 PAUSE
1370 SUBEND

```

$$C_{N_i} = \frac{(p-p_i)^{v_i} Z(p)}{N(p)} \Big|_{p=p_i} \quad (110)$$

$$= v_i! \frac{Z(p_i)}{N^{(v_i)}(p_i)}$$

Zur Berechnung der anderen Konstanten wird Gl. (109) ebenfalls mit $(p-p_i)^{v_i}$ multipliziert und j -mal differenziert. Dann werden für $p=p_i$ alle Glieder der rechten Seite außer $j! C_{i, v_i-j}$ null. Es gilt also

$$C_{i, v_i-j} = \frac{1}{j!} \frac{d^j}{dp^j} \frac{(p-p_i)^{v_i} Z(p)}{N(p)} \Big|_{p=p_i} \quad (111)$$

SERIEN

Eine Vereinfachung bringt die Einführung des mit der aktuellen Nullstelle gewonnenen Deflationspolynoms

$$N^*(p) = \frac{N(p)}{(p-p_i)^{v_i}} \quad (112)$$

in die obigen Gleichungen. Hier ergibt sich mit

$$C_{i, v_i-j} = \frac{1}{j!} \frac{d^j}{dp^j} \frac{Z(p_i)}{N^*(p_i)}, \quad j=0(1)v_i-1 \quad (113)$$

eine einheitliche Darstellung zur Berechnung der Konstanten C_{ij} .

Dabei ist zu berücksichtigen, daß $N^*(p)$ für komplexes p , komplexe Koeffizienten hat. Jetzt muß noch eine geeignete Gleichung zur Berechnung der Ableitungen der rationalen Funktion bereitgestellt werden. Für die erste Ableitung gilt

$$\frac{d}{dp} \frac{Z(p)}{N^*(p)} = \frac{N^*(p) Z'(p) - Z(p) N^{*'}(p)}{N^{*2}(p)} \quad (114)$$

Wird dieser Ausdruck ein zweites Mal nach p abgeleitet, dann erhält man mit

$$\frac{d^2}{dp^2} \frac{Z(p)}{N^*(p)} = \frac{N^{*2} Z'' - N^*(2 Z' N^{*'} + Z N^{*''}) + 2 Z (N^{*'})^2}{N^{*3}(p)} \quad (115)$$

einen Ausdruck, dessen Nenner sich durch einfache Multiplikation von $N^*(p)$ aus dem Nenner der nächstniedrigeren Ableitung ergibt. Aus dieser Erkenntnis läßt sich die Rekursionsformel

$$\frac{d^j}{dp^j} \frac{Z(p)}{N^*(p)} = \frac{z_j(p)}{[N^*(p)]^{j+1}} \quad (116)$$

mit

$$z_{j+1}(p) = N^*(p) z_j'(p) - (j+1) N^{*'}(p) z_j(p) \quad (117)$$

und

$$z_0(p) = Z(p) \quad (118)$$

ableiten (Methode der vollständigen Induktion).

Abschließend werden mit

$$\frac{1}{p^n} \bullet \circ \frac{1}{(n-1)!} t^{n-1} \quad (119)$$

$$\frac{1}{(p-p_i)^n} \bullet \circ \frac{1}{(n-1)!} t^{n-1} e^{p_i t} \quad (120)$$

zwei Korrespondenzbeziehungen [15] notiert, mit deren Hilfe die einzelnen Partialbrüche nach Gl. (105) in den Zeitbereich transformiert werden können. Zusammenfassend gelten hier die Korrespondenzen

$$F(p) = \frac{Z(p)}{N(p)} \bullet \circ f(t) = \sum_{i=1}^n \sum_{j=1}^{v_i} \frac{t^{v_i-j-1} e^{p_i t}}{j! (v_i-j-1)!} \frac{d^j}{dp^j} \frac{Z(p_i)}{N^*(p_i)} \quad (121)$$

$$F(p) = \frac{Z(p)}{p N(p)} \bullet \circ f(t) = \frac{Z(0)}{N(0)} + \sum_{i=1}^n \sum_{j=1}^{v_i} \frac{t^{v_i-j-1} e^{p_i t}}{j! (v_i-j-1)!} \frac{d^j}{dp^j} \frac{Z(p_i)}{p_i N^*(p_i)} \quad (122)$$

Listing 21 zeigt das SUB-Programm Hea, mit dessen Hilfe gebrochene rationale Bildfunktionen auch bei mehrfachen Nullstellen des Nennerpolynoms in den Zeitbereich transformiert werden können. Der Anfang ist analog zu dem Listing 19 aufgebaut. In den Zeilen 1140 bis 1420 wird das ursprüngliche Nennerpolynom $N(p)$ zu $N^*(p)$ abdividiert und anschließend wird es mit der „unterschlagenen“ Nullstelle bei Null multipliziert und seine Ableitung bereitgestellt. In der folgenden LOOP-Schleife erfolgt zunächst die Berechnung der Koeffizienten nach Gl. (113) und danach die Berechnung der Ableitung mit Hilfe der Rekursionsformel nach den Gln. (116) und (117). Das in den Zeilen 1710 und 1880 aufgerufene Funktionsunterprogramm FNN_fak dient zur

Berechnung von $n!$, ist in den Zeilen 2240 bis 2410 wiedergegeben und bedarf keiner weiteren Erklärung. Bei dem in den Zeilen 2030, 2040 und 2070 verwendeten SUB-Programm K_p handelt es sich um das in Listing 3 abgedruckte Programm Komplexprodukt, dessen Name gekürzt wurde, um mit 80 Zeichen pro Zeile auszukommen und die Variablenbezeichnungen möglichst anschaulich gestalten zu können.

9.5 Anwendungsbeispiel

Eine entscheidende Größe beim Einsatz von Halbleiterbauelementen ist die Temperatur der Sperrschicht. Leider ist der Aufwand zur Bestimmung der Sperrschichttemperatur sehr hoch [20], so daß solche Messungen im allgemeinen nur bei den Herstellern der Halbleiterbauelemente durchgeführt werden. Die Ergebnisse dieser Messungen werden den Anwendern dieser Bauelemente in Form von transienten Wärmewiderständen bekannt gemacht. Diese gelten aber nur in Zusammenhang mit einer bestimmten,

bei den Messungen verwendeten Kühleinrichtung [21]. Sollen jetzt andere Kühler zum Einsatz kommen, dann kommt man an eigenen Messungen nicht vorbei. Zu diesem Zweck werden die Halbleiterbauelemente, wie beim späteren Einsatz

vorgesehen, auf den Kühlern montiert. Am Übergang Halbleiterbauelement – Kühloberfläche wird ein Temperaturfühler (i.allg. ein Thermoelement) befestigt und es wird der Verlauf der Temperatur an diesem Punkt bei einem Sprung der Verlustleistung in der Sperrschicht gemessen. Aus diesem Temperaturverlauf soll nun der Verlauf der Sperrschichttemperatur und der Verlauf der Leistung über den Übergang berechnet werden.

Das thermische Verhalten der Halbleiterbauelemente kann mit der Gleichung

$$\begin{pmatrix} T_J(p) \\ P_G(p) \end{pmatrix} = \begin{pmatrix} H_{11}(p) & H_{12}(p) \\ H_{21}(p) & H_{22}(p) \end{pmatrix} \begin{pmatrix} P_J(p) \\ T_G(p) \end{pmatrix} \quad (123)$$

vollständig beschrieben werden [22]. Dabei ist $T_J(p)$ die Sperrschichttemperatur, $P_G(p)$ die über den Übergang Halbleiterbauelement–Kühler fließende Leistung, $P_J(p)$ der Verlustleistungsverlauf in der Sperrschicht und $T_G(p)$ der am Übergang gemessene Temperaturverlauf, jeweils dargestellt im Bildbereich der LAPLACE-Transformation. Die Matrix mit den Hybridparametern charakterisiert die thermischen Eigenschaften des Halbleiterbauelementes.

Alle diese Parameter sind gebrochene rationale Funktionen. Die Hybridmatrix hat folgenden Aufbau

$$\|H\| = \frac{1}{\ell(p)} \begin{pmatrix} h_{11}(p) & 1 \\ 1 & h_{22}(p) \end{pmatrix} \quad (124)$$

kann also mit drei charakteristischen Polynomen $h_{11}(p)$, $h_{22}(p)$ und $\ell(p)$ beschrieben werden. Wird der zur Messung erzeugte Leistungssprung

$$P_J(p) = \frac{P_J}{p} \quad (125)$$

SERIEN

```

10  SUB Hea_e(Z(*),N(*),R_0(*),I_0(*),R(*),Tau(*),Om(*),Phi(*),Ep,INTEGER N,M)
360  ! (c) 1984 by Jürgen Schwarz      Sprache: HP-BASIC      Datum: 08.06.84
370  ! Speichermedium: Kassetten 73/74  File-Name: Heavis  Version: 1.0

430  REAL Zaehler(1:2,1:2),Nenner(1:2,1:2),Real(1:2,1:2),Imag(1:2,1:2)
440  REAL Null_st(1:2,1:2),X(1:2,1:2),Y(1:2,1:2)

990  DATA 1,0,0,1,    0,-1,1,0  ! Repräsentation der reellen und der
1000  MAT READ Real,Imag      ! imaginären Einheit (1 bzw. i)
1010  FOR I=1 TO M
1020  R_0=R_0_st(I)          ! Realteil der Nullstelle
1030  I_0=I_0_st(I)        ! Imaginärteil der Nullstelle
1040  IF I_0=0 THEN        ! rein reelle Nullstelle
1050  Tau(I)=-1/R_0
1060  Om(I)=Phi(I)=0      ! Bewertung so, daß cos(0*t+phi)=1 ist

1140  ELSE                  ! konjugierte komplexe Nullstelle
1150  Om(I)=I_0
1160  IF NOT R_0 THEN      ! rein imaginäre Nullstelle
1170  Tau(I)=9.999999999999999E99 ! tau strebt gegen unendlich
1180  R_zaeher=I_zaeher=R_nenner=I_nenner=0
1190  FOR J=N TO 0 STEP -1
1200  SELECT J MOD 4
1210  CASE 0                ! J = 0, 4, 8, 12, ...
1220  R_zaeher=Z_st(J)+R_zaeher*I_0*I_0
1230  IF J<=N-1 THEN I_nenner=(J+1)*N(J+1)+I_nenner*I_0*I_0
1240  CASE 1                ! J = 1, 5, 9, 13, ...
1250  I_zaeher=Z_st(J)+I_zaeher*I_0*I_0
1260  IF J<=N-1 THEN R_nenner=(J+1)*N(J+1)+R_nenner*I_0*I_0
1270  CASE 2                ! J = 2, 6, 10, 14, ...
1280  R_zaeher=-Z_st(J)+R_zaeher*I_0*I_0
1290  IF J<=N-1 THEN I_nenner=-(J+1)*N(J+1)+I_nenner*I_0*I_0
1300  CASE 3                ! J = 3, 7, 11, 15, ...
1310  I_zaeher=-Z_st(J)+I_zaeher*I_0*I_0
1320  IF J<=N-1 THEN R_nenner=-(J+1)*N(J+1)+R_nenner*I_0*I_0
1330  END SELECT
1340  NEXT J
1350  I_zaeher=I_zaeher*I_0
1360  R_nenner=-R_nenner*I_0*I_0
1370  I_nenner=I_nenner*I_0
1380  A_cos=2*(R_zaeher*R_nenner+I_zaeher*I_nenner)
1390  A_cos=A_cos/(R_nenner*R_nenner+I_nenner*I_nenner)
1400  A_sin=2*(R_zaeher*I_nenner-I_zaeher*R_nenner)
1410  A_sin=A_sin/(R_nenner*R_nenner+I_nenner*I_nenner)
1420  ELSE                  ! R_0 AND I_0: konjugiert komplexe Nullstelle
1430  Tau(I)=-1/R_0
1440  MAT X=(R_0)*Real      ! Realteil      der komplexen Nullstelle
1450  MAT Y=(I_0)*Imag     ! Imaginärteil der komplexen Nullstelle
1460  MAT Null_st=X+Y      ! Repräsentation der komplexen Nullstelle
1470  !
1480  MAT Zaehler=(Z_st(N))*Real ! Repr. der reellen Zählerkoeffizienten
1490  MAT Nenner=ZER
1500  FOR J=N-1 TO 0 STEP -1
1510  MAT X=(Z_st(J))*Real    ! Repr. der reellen Zählerkoeffizienten
1520  MAT Y=Zaeher*Null_st
1530  MAT Zaehler=X+Y
1540  MAT X=((J+1)*N(J+1))*Real ! Repr. der Ableitung der Nennerkoeff.
1550  MAT Y=Nenner*Null_st
1560  MAT Nenner=X+Y
1570  NEXT J
1580  MAT Y=Nenner*Null_st    ! = N_0*Nenner
1590  MAT Nenner=INV(Y)      ! = 1/(N_0*Nenner)
1600  MAT Y=Zaeher*Nenner    ! = Zähler/(N_0*Nenner)
1610  A_cos=2*Y(1,1)        ! = 2*Re[Zähler/(N_0*Nenner)]
1620  A_sin=2*Y(1,2)        ! = -2*Im[Zähler/(N_0*Nenner)]
1630  END IF
1640  IF A_cos THEN
1650  IF A_cos>=0 THEN

```

Listing 20: Ausschnitt aus einem SUB-Programm mit denselben Aufgaben wie Listing 19 ohne SUB-Programmaufruf.

SERIEN

Listing 21: SUB-Programm zur Rücktransformation aus dem Bildbereich der Laplace-Transformation beim Auftreten auch mehrfacher Nullstellen des Nennerpolynoms.

```

10  SUB Hea(Z(*),N(*),R(*),I(*),C(*),Tau(*),Om(*),Phi(*),Ep,INTEGER N,M,V(*))
20  !
30  ! SUB-Programm Hea zur Durchführung der Laplace-Rücktransformation
40  ! aus dem Bildbereich in den Originalbereich
50  !
60  ! Gegeben: gebrochen rationale Bildfunktion  $F(p) = Z(p)/N(p)$ ,
70  !         die mit einem Sprung  $(1/p)$  angeregt wird
80  !
90  ! Verfahren:
100 ! Partialbruchzerlegung und Anwendung des Entwicklungssatzes von Heaviside
110 ! bei bereits berechneten Nullstellen des Nenners R(*) und I(*). Mehr-
120 ! fache Nullstellen werden in R(*) und I(*) nicht mehrfach wiedergegeben.
130 !
140 ! Eingangsgrößen:
150 !   n           ... Anzahl der Nullstellen des Nennerpolynoms
160 !               (ohne Sprung und mehrfache Nullstellen)
170 !   Z(0:*)     ... Koeffizienten des Zählerpolynoms (Max.: 0:SUM(V))
180 !   N(0:SUM(V)) ... Koeffizienten des Nennerpolynoms (ohne Sprung)
190 !   R(1:n)     ... Realteile der Nullstellen des Nennerpolynoms
200 !   I(1:n)     ... Imaginärteile der Nullstellen des Nennerpolynoms
210 !   v(1:n)     ... Vielfachheit der Nullstellen des Nennerpolynoms
220 !   ep        ... Größe für die Genauigkeit der Nullstellen bei
230 !               der Prüfung auf konjugiert komplexe Nullstellen
240 !
250 ! Form des Ergebnisses:
260 !
270 !           m   v_i-1
280 ! f(t) = C_00 + Summe Summe [ C_ij * t^j * EXP(-t/tau_i) ] * ...
290 !                   i=1   j=0           ... * COS(om_i*t + phi_ij) ]
300 !
310 ! Ausgangsgrößen:
320 !   m           ... Anzahl der Elemente im Zeitbereich (m ≤ n)
330 !   C(0:m,0:MAX(V)-1) ... Proportionalanteile der Lösung
340 !   tau(1:m)    ... Zeit- bzw. Dämpfungskonstanten der Lösung
350 !   om (1:m)   ... Kreisfrequenzen der Lösung
360 !   phi(1:m,0:MAX(V)-1) ... Phasenlagen der Lösung
370 !   v(1:m)     ... Anzahl der Elemente mit gleichem tau(i)
380 !
390 ! (c) 1985 by Jürgen Schwarz           Sprache: HP-BASIC           Datum: 01.06.85
400 ! Speichermedium: Kassetten 73/74    File-Name: Heavis           Version: 1.1
410 !
420 INTEGER Boo_m,Boo_r,Boo_i,Dround,D,I,J,K,V_0,N_poly,N_nenner,N_zaeher
430 INTEGER N_max,N_stern,V_st(1:N)
440 !
450 REAL C_re,C_im,R_0,I_0,R_zaeher,R_nenner,U,V,X,Y
460 REAL R_st(1:N),I_st(1:N)
470 !
480 REAL Z_r(0:200),Z_i(0:200),Z_r_strich(0:199),Z_i_strich(0:199)
490 REAL N_r(0:200),N_i(0:200),P_r(0:200),P_i(0:200) ! Feld: (0:n_max)
500 REAL M_r(0:SUM(V)),M_i(0:SUM(V))
510 REAL M_r_strich(0:SUM(V)-1),M_i_strich(0:SUM(V)-1)
520 !
530 IF (N<=0) OR (SUM(V)<N) OR (Ep<=0) THEN PAUSE ! widersprüchliche Daten
540 M=N
550 N_poly=SUM(V) ! Grad des Nennerpolynoms
560 MAT C=ZER
570 MAT Tau=ZER
580 MAT Om=ZER
590 MAT Phi=ZER
600 REDIM Z(0:ROW(Z)-1),N(0:N_poly),R(1:N),I(1:N),V(1:N)
610 IF SUM(V)<>N_poly THEN PAUSE ! widersprüchliche Daten
620 !
630 MAT R_st=R
640 MAT SORT R_st
650 MAT Tau=R
660 MAT I_st=ZER
670 FOR I=1 TO N
680   J=0
690   REPEAT
700     J=J+1
710     UNTIL R_st(I)=Tau(J)
720     Tau(J)=9.999999999999E99
730     V_st(I)=V(J)
740     IF ABS(I(J))>=Ep*ABS(R_st(I)) THEN I_st(I)=I(J)
750     IF ABS(R_st(I))<Ep*ABS(I_st(I)) THEN R_st(I)=0

```

SERIEN

Listing 21, Fortsetzung

```

760 NEXT I
770 !
780 I=D=0
790 Dround=INT(LGT(Ep))
800 REPEAT
810 I=I+1
820 D=MAX(D,V_st(I)) ! maximale Vielfachheit einer Nullstelle
830 IF I_st(I)<>0 THEN
840 IF I+1>M THEN Un_konj
850 Boo_m=(V_st(I)=V_st(I+1))
860 Boo_r=(DROUND(R_st(I),Dround)=DROUND(R_st(I+1),Dround))
870 Boo_i=(DROUND(I_st(I),Dround)=-DROUND(I_st(I+1),Dround))
880 IF NOT (Boo_m AND Boo_r AND Boo_i) THEN Un_konj
890 M=M-1
900 R_st(I)=.5*(R_st(I)+R_st(I+1))
910 I_st(I)=ABS(.5*(I_st(I)-I_st(I+1)))
920 FOR J=I+1 TO M
930 V_st(J)=V_st(J+1)
940 R_st(J)=R_st(J+1)
950 I_st(J)=I_st(J+1)
960 NEXT J
970 REDIM V_st(1:M),R_st(1:M),I_st(1:M)
980 END IF
990 UNTIL I>=M
1000 REDIM C(0:M,0:D-1),Tau(1:M),Om(1:M),Phi(1:M,0:D-1)
1010 N_max=MAX(D*(N_poly-D+1),N_poly+(D-1)*(N_poly-D)) ! Grad des größten
1020 ! auftretenden Polynoms (muß kleiner als 201 sein)
1030 C(0,0)=Z(0)/N(0)
1040 FOR I=1 TO M
1050 V_0=V_st(I) ! Vielfachheit der Nullstelle
1060 R_0=R_st(I) ! Realteil der Nullstelle
1070 I_0=Om(I)=I_st(I) ! Imaginärteil der Nullstelle
1080 IF R_0=0 THEN ! rein imaginäre Nullstelle
1090 Tau(I)=9.999999999999999E99 ! tau strebt gegen unendlich
1100 ELSE
1110 Tau(I)=-1/R_0
1120 END IF
1130 !
1140 MAT N_r=ZER(0:N_max)
1150 MAT N_i=ZER(0:N_max)
1160 MAT M_r=N
1170 MAT M_i=ZER(0:N_poly)
1180 IF I_0=0 THEN ! rein reelle Nullstelle
1190 FOR J=1 TO V_0
1200 U=M_r(N_poly-J+1)
1210 M_r(N_poly-J+1)=0
1220 FOR K=N_poly-J TO 0 STEP -1
1230 X=M_r(K)
1240 M_r(K)=U+R_0*M_r(K+1)
1250 U=X
1260 NEXT K
1270 NEXT J ! v-fache Division des Nenners durch die aktuelle Nullstelle
1280 ELSE ! komplexe Nullstelle
1290 FOR J=1 TO V_0
1300 U=M_r(N_poly-J+1)
1310 V=M_i(N_poly-J+1)
1320 M_r(N_poly-J+1)=M_i(N_poly-J+1)=0
1330 FOR K=N_poly-J TO 0 STEP -1
1340 X=M_r(K)
1350 Y=M_i(K)
1360 M_r(K)=U+R_0*M_r(K+1)-I_0*M_i(K+1)
1370 M_i(K)=V+R_0*M_i(K+1)+I_0*M_r(K+1)
1380 U=X
1390 V=Y
1400 NEXT K
1410 NEXT J ! v-fache Division des Nenners durch die aktuelle Nullstelle
1420 END IF
1430 N_stern=N_nenner=N_poly-V_0+1 ! Grad des abdividierten und mit 1/p
1440 MAT M_r_strich=ZER(0:N_poly-2) ! multiplizierten Nennerpolynoms
1450 MAT M_i_strich=ZER(0:N_poly-2)
1460 REDIM M_r_strich(0:N_stern-1),M_i_strich(0:N_stern-1)
1470 FOR K=N_stern TO 1 STEP -1
1480 M_r(K)=M_r(K-1) ! Multiplikation mit der Sprungfunktion 1/p
1490 M_r_strich(K-1)=K*M_r(K) ! Ableitung des Nennerpolynoms
1500 M_i(K)=M_i(K-1) ! Multiplikation mit der Sprungfunktion 1/p

```

SERIEN

Listing 21, Fortsetzung

```

1510     M_i_strich(K-1)=K*M_i(K)           ! Ableitung des Nennerpolynoms
1520 NEXT K                               ! Multiplikation mit der Sprungfunktion 1/p
1530 M_r(0)=M_i(0)=0
1540 REDIM M_r(0:N_nenner),M_i(0:N_nenner)
1550 MAT N_r=M_r
1560 MAT N_i=M_i
1570 !
1580 MAT Z_r=ZER(0:N_max)
1590 MAT Z_i=ZER(0:N_max)
1600 MAT Z_r_strich=ZER(0:N_max-1)
1610 MAT Z_i_strich=ZER(0:N_max-1)
1620 MAT Z_r=Z
1630 N_zaeher=N_poly
1640 REDIM Z_r(0:N_poly),Z_i(0:N_poly)
1650 !
1660 J=0
1670 LOOP
1680     IF I_0=0 THEN                       ! rein reelle Nullstelle
1690         R_zaeher=FNHorner(N_zaeher,R_0,Z_r(*))
1700         R_nenner=FNHorner(N_nenner,R_0,N_r(*))
1710         C(I,V_0-J-1)=R_zaeher/(FNN_fak(J)*FNN_fak(V_0-J-1)*R_nenner)
1720     ELSE                                 ! komplexe Nullstelle
1730         CALL Komplex_polynom(N_zaeher,R_0,I_0,Z_r(*),Z_i(*),U,V)
1740         CALL Komplex_polynom(N_nenner,R_0,I_0,N_r(*),N_i(*),X,Y)
1750         C_re=(U*X+V*Y)/(X*X+Y*Y)       ! komplexe Division +Re<(u+jv)/(x+jy)>
1760         C_im=(-X*V-U*Y)/(X*X+Y*Y)     ! komplexe Division -Im<(u+jv)/(x+jy)>
1770         IF C_re<>0 THEN
1780             IF C_re>=0 THEN
1790                 Phi(I,V_0-J-1)=ATN(-C_im/C_re)
1800                 IF Phi(I,V_0-J-1)<0 THEN Phi(I,V_0-J-1)=Phi(I,V_0-J-1)+2*PI
1810             ELSE
1820                 Phi(I,V_0-J-1)=ATN(-C_im/C_re)+PI
1830             END IF
1840         ELSE
1850             Phi(I,V_0-J-1)=PI*(1+.5*SGN(C_im))
1860         END IF
1870         C(I,V_0-J-1)=2*SQR(C_re*C_re+C_im*C_im)
1880         C(I,V_0-J-1)=C(I,V_0-J-1)/(FNN_fak(J)*FNN_fak(V_0-J-1))
1890     END IF
1900 EXIT IF J=V_0-1
1910     J=J+1                               ! Berechnung der j-ten Ableitung
1920     REDIM Z_r_strich(0:N_zaeher-1),Z_i_strich(0:N_zaeher-1)
1930     FOR K=1 TO N_zaeher
1940         Z_r_strich(K-1)=K*Z_r(K)       ! Ableitung des Zählerpolynoms
1950         Z_i_strich(K-1)=K*Z_i(K)       ! Ableitung des Zählerpolynoms
1960     NEXT K
1970     IF I_0=0 THEN                       ! rein reelle Nullstelle
1980         CALL Produkt(N_stern,N_zaeher-1,M_r(*),Z_r_strich(*),P_r(*))
1990         CALL Produkt(N_stern-1,N_zaeher,M_r_strich(*),Z_r(*),Z_r(*))
2000         CALL Addition(1,P_r(*),-J,Z_r(*),Z_r(*))
2010         CALL Produkt(N_nenner,N_stern,N_r(*),M_r(*),N_r(*))
2020     ELSE                                 ! komplexe Nullstelle
2030         CALL K_p(M_r(*),M_i(*),Z_r_strich(*),Z_i_strich(*),P_r(*),P_i(*))
2040         CALL K_p(M_r_strich(*),M_i_strich(*),Z_r(*),Z_i(*),Z_r(*),Z_i(*))
2050         CALL Addition(1,P_r(*),-J,Z_r(*),Z_r(*))
2060         CALL Addition(1,P_i(*),-J,Z_i(*),Z_i(*))
2070         CALL K_p(M_r(*),M_i(*),N_r(*),N_i(*),N_r(*),N_i(*))
2080     END IF
2090     N_zaeher=N_zaeher+N_stern-1
2100     N_nenner=N_nenner+N_stern
2110     REDIM Z_r(0:N_zaeher),Z_i(0:N_zaeher)
2120     REDIM N_r(0:N_nenner),N_i(0:N_nenner)
2130 END LOOP
2140 NEXT I
2150 MAT V=ZER
2160 MAT V=V_st
2170 SUBEXIT
2180 !
2190 Un_konj: !
2200 PRINT "Fehler bei der Nullstellenberechnung."
2210 PRINT "Es liegt eine unkonjugiert komplexe Nullstelle vor!"
2220 PAUSE
2230 SUBEND
2240 DEF FNN_fak(INTEGER N)
2250 !

```

SERIEN

Listing 21, Fortsetzung

```
2260 ! Funktions-Unterprogramm zur Berechnung von n-Fakultät
2270 !
2280 ! (c) 1985 by Jürgen Schwarz           Sprache: HP-BASIC       Datum: 01.06.85
2290 ! Speichermedium: Kassetten 73/74   File-Name: Heavis       Version: 1.0
2300 !
2310 INTEGER I
2320 REAL N_fak
2330 !
2340 IF N<0 THEN RETURN 0                      ! nicht definiertes Ergebnis
2350 IF (N=0) OR (N=1) THEN RETURN 1
2360 N_fak=1
2370 FOR I=2 TO N
2380   N_fak=I*N_fak
2390 NEXT I
2400 RETURN N_fak
2410 FNEND
```

Listing 22: Ausschnitt aus einem Programm zur Berechnung des Sperrschichttemperaturverlaufes von Halbleiterbauelementen aus dem Gehäusetemperaturverlauf.

```
10 ! *****
20 ! *
30 ! * Programm ZHe_eK zur Berechnung des transienten Wärmewiderstandes und *
40 ! * damit des Temperaturverlaufes in der virtuellen Sperrschicht in *
50 ! * einem einseitig gekühlten Halbleiterbauelement gegebenen *
60 ! * Temperaturverlauf am Case des Halbleiterbauelementes bei einem *
70 ! * Leistungssprung in der Sperrschicht *
80 ! *
90 ! * Anwendung der Zweitortheorie und *
100 ! * des Heavisideschen Entwicklungssatzes *
110 ! *
120 ! *****
130 ! *
140 ! * (c) 1985 by Jürgen Schwarz           Sprache: HP-BASIC       Datum: 01.07.85 *
150 ! * Speichermedium: Kassetten 73/74   File-Name: ZHe_eK       Version: 1.0 *
160 ! *
170 ! *****

1490 ! *****
1500 ! * Beginn der Berechnungen *
1510 ! *
1520 ! * 1. Berechnung der Vierpolparameter des Thyristor-Ersatzschaltbildes *
1530 ! * und Transformation der Meßwerte der Temperatur am Übergang *
1540 ! * in den Bildbereich *
1550 ! *****
1560 !
1570 CALL Rc_up_h(N_th,N_th_stern,Ch$,Rk_th(*),Ck_th(*),H_11(*),H_22(*),L(*))
1580 H_12(0)=1                                     ! = H_21
1590 CALL Rc_zp_pb(M_kd,M_kd_stern,Kan,"H",R_kd(*),Tau_kd(*),Z_ga(*),N_ga(*))
1600 !
1610 ! *****
1620 ! * 2. Berechnung der Sprungantworten (H-Parameter) *
1630 ! *****
1640 !
1650 DISP "2.1 Berechnung des transienten Wärmewiderstandes [H_11(t)]"
1660 N_th_h=N_th_stern
1670 CALL Newton_mod(N_th_h,L(*),N_0(*),5E-8)      ! Pole der H-Matrix
1680 CALL Rc_t0_pb(N_th_h,H_11(*),L(*),N_0(*),H_th_11(*),Gamma_th(*))

1770 DISP "2.2 Berechnung der Sprungantwort H_12(t) [= H_21(t)]"
1780 CALL Rc_t0_pb(N_th_h,H_12(*),L(*),N_0(*),H_th_12(*),Gamma_th(*))

1860 DISP "2.3 Berechnung der Sprungantwort H_22(t)"
1870 CALL Rest_division(N_th,N_th_stern,I,H_22(*),L(*),Hf1(*),R_22(*),1E-6)
1880 REDIM Hf1(0:1)
1890 D_th_22=Hf1(1)
1900 S_th_22=Hf1(0)
1910 CALL Rc_t0_pb(N_th_h,R_22(*),L(*),N_0(*),H_th_22(*),Gamma_th(*))
```

SERIEN

Listing 22, Fortsetzung

```

2310 ! *****
2320 ! * 4. Rechnung mit dem speziellen Temperaturverlauf *
2330 ! *****
2340 !
2350 DISP "4.1 Berechnung des Verhalten des Systems"
2360 !
2370 N_sy=N_th_h+M_kd ! vorläufige Anzahl der Systemzeitkonstanten
2380 REDIM R_ja(1:N_sy,0:1),K_pg(1:N_sy,0:1),Tau_sy(1:N_sy),N_0(1:N_sy)
2390 REDIM Gamma_th(1:N_th_h+I),Tau_kd(1:M_kd+1)
2400 MAT V_sy=CON(1:N_sy)
2410 Gamma_th(N_th_h+I)=Tau_kd(M_kd+1)=1E99
2420 I=0
2430 I_th=I_kd=1
2440 REPEAT
2450 I=I+1
2460 Tau_sy(I)=MIN(Gamma_th(I_th),Tau_kd(I_kd))
2470 N_0(I)=-1/Tau_sy(I)
2480 !
2490 Boolean_th=(DROUND(Tau_sy(I),6)=DROUND(Gamma_th(I_th),6))
2500 Boolean_kd=(DROUND(Tau_sy(I),6)=DROUND(Tau_kd(I_kd),6))
2510 IF Boolean_th THEN I_th=I_th+1
2520 IF Boolean_kd THEN I_kd=I_kd+1
2530 !
2540 IF Boolean_th AND Boolean_kd THEN
2550 V_sy(I)=2
2560 N_sy=N_sy-1 ! zwei Zeitkonstanten sind gleich
2570 REDIM R_ja(1:N_sy,0:1),K_pg(1:N_sy,0:1)
2580 REDIM Tau_sy(1:N_sy),N_0(1:N_sy),V_sy(1:N_sy)
2590 END IF
2600 UNTIL I=N_sy
2610 MAT I_0=ZER(1:N_sy)
2620 REDIM Om(1:N_sy),P(1:N_sy,0:1)
2630 REDIM Gamma_th(1:N_th_h),Tau_kd(1:M_kd)
2640 !
2650 CALL Produkt(0,0,H_11(*),N_ga(*),Hf1(*)) ! Zählerpolynom der
2660 CALL Addition(1,Hf1(*),1,Z_ga(*),Z_ja(*)) ! Sperrschichttemperatur
2670 CALL Produkt(0,0,H_22(*),Z_ga(*),Hf1(*)) ! Zählerpolynom des
2680 CALL Addition(1,Hf1(*),1,N_ga(*),Z_pg(*)) ! Leistungsverlaufes
2690 CALL Produkt(0,0,L(*),N_ga(*),N_sy(*)) ! Nennerpolynom des Systems
2700 !
2710 CALL Hea(Z_ja(*),N_sy(*),N_0(*),I_0(*),R_ja(*),Tau(*),Om(*),P(*),1E-6,N_sy
,M_sy,V_sy(*))
2720 CALL Hea(Z_pg(*),N_sy(*),N_0(*),I_0(*),K_pg(*),Tau(*),Om(*),P(*),1E-6,N_sy
,M_sy,V_sy(*))

3440 Z_th: ! Unterprogramm zur Berechnung des transienten Widerstandes
3450 Z_th=C(0,0)
3460 FÜR P=1 TO N
3470 Z_th=Z_th+C(P,0)*EXP(-T/Tau(P))
3480 IF V_sy(P)=2 THEN Z_th=Z_th+C(P,1)*T*EXP(-T/Tau(P))
3490 NEXT P
3500 RETURN

```

entsprechend den Voraussetzungen von Gl. (85) „herausgekürzt“, so bleibt von ihm nur noch 1 und mit Gl. (85) für den bezogenen Temperaturverlauf am Übergang ergibt sich für die bezogene Sperrschichttemperatur über

$$T_{JA}^*(p) = H_{11}(p) + H_{12}(p) Z_{GA}(p) \quad (126)$$

die Lösung bei Verwendung der Einzelpolynome aus Gl. (124) zu

$$T_{JA}^*(p) = \frac{h_{11}(p) n_{GA}(p) + h_{12}(p) z_{GA}(p)}{\ell(p) n_{GA}(p)} \quad (127)$$

mit $h_{12}(p) = 1$. Für den bezogenen Verlauf der Leistung am Übergang ergibt sich entsprechend

$$P_G^*(p) = \frac{h_{21}(p) n_{GA}(p) + h_{22}(p) z_{GA}(p)}{\ell(p) n_{GA}(p)} \quad (128)$$

Die mit den Gln. (127) und (128) gewonnenen Ausdrücke müssen nun zurück in den Zeitbereich transformiert werden. Da sich nicht ausschließen läßt, daß einzelne Eigenzeitkonstanten des Halbleiterbauelementes (Nullstellen von $\ell(p)$) gleich mit einzelnen Zeitkonstanten der Expo-

ENTIALSUMMENZERLEGUNG des gemessenen Verlaufes sind, muß zur Rücktransformation das Programm nach Listing 21 zur Anwendung kommen, da nur dieses SUB-Programm mehrfache (hier höchstens doppelte) Nennernullstellen verarbeiten kann. Konjugiert komplexe Nullstellen sind hier allerdings auszuschließen.

Listing 22 zeigt Ausschnitte aus einem Rechenprogramm zur Abarbeitung der abgeleiteten Algorithmen. In den Zeilen 1570 und 1580 erfolgt die Berechnung der Hybridparameter des Halbleiterbauelementes aus den Daten des thermi-

Berlin, den 02. Juli 1985

Berechnung des Temperaturverlaufes in der Sperrschicht
von einseitig gekühlten Halbleiterbauelementen

Berechnung mit dem Heaviside'schen Entwicklungssatzes bei Vorgabe des
Temperaturverlaufes am Übergang zur Kühleinrichtung

ZHe_eK - Kassetten 73/74 - Version 1.0 - 01. Juli 1985 - Sz

Bauelement: Thyristor T 270 H 2000 ... 2600 (AEG AG)
Modell: Modell "junction-heatsink" [J-H]
Meßstelle: Anlageflächen des Kühlelementes (heatsink)

Daten der Ersatzschaltung des Halbleiterbauelementes in Kettenbruchschialtung:

R_k_TH (01)	=	4070.515 μ K/W	C_k_TH (01)	=	557.913 mJ/K
R_k_TH (02)	=	7855.402 μ K/W	C_k_TH (02)	=	606.904 mJ/K
R_k_TH (03)	=	20.908 mK/W	C_k_TH (03)	=	2437.699 mJ/K
R_k_TH (04)	=	47.166 mK/W	C_k_TH (04)	=	17.615 J/K
R_k_TH (05)	=	18.000 mK/W	C_k_TH (05)	=	76.365 J/K

Summe: R_k_TH = 98.000 mK/W

Parameter der Sprungantwort H 11(t):

H_11_JH (01)	=	721.732 μ K/W	γ_{11_JH} (01)	=	1035.274 μ s
H_11_JH (02)	=	5064.302 μ K/W	γ_{11_JH} (02)	=	6744.398 μ s
H_11_JH (03)	=	18.720 mK/W	γ_{11_JH} (03)	=	64.671 ms
H_11_JH (04)	=	19.332 mK/W	γ_{11_JH} (04)	=	661.397 ms
H_11_JH (05)	=	54.162 mK/W	γ_{11_JH} (05)	=	2110.162 ms

Summe: H_11_JH = 98.000 mK/W

Parameter der Sprungantwort H 12(t) [= H 21(t)]:

H_12_JH (01)	=	2270.215 10^{-12}	γ_{12_JH} (01)	=	1035.274 μ s
H_12_JH (02)	=	-4543.482 10^{-9}	γ_{12_JH} (02)	=	6744.398 μ s
H_12_JH (03)	=	3887.638 10^{-6}	γ_{12_JH} (03)	=	64.671 ms
H_12_JH (04)	=	-512.016 10^{-3}	γ_{12_JH} (04)	=	661.397 ms
H_12_JH (05)	=	1508.133 10^{-3}	γ_{12_JH} (05)	=	2110.162 ms

Summe: H_12_JH = 1000.000 10^{-3}

Parameter der Sprungantwort H 22(t):

S_22_JH	=	-55.556 e(t) * W/K	γ_{22_JH} (01)	=	1035.274 μ s
H_22_JH (01)	=	-268.678 pW/K	γ_{22_JH} (02)	=	6744.398 μ s
H_22_JH (02)	=	4591.579 pW/K	γ_{22_JH} (03)	=	64.671 ms
H_22_JH (03)	=	807.354 μ W/K	γ_{22_JH} (04)	=	661.397 ms
H_22_JH (04)	=	13.561 W/K	γ_{22_JH} (05)	=	2110.162 ms
H_22_JH (05)	=	41.994 W/K			

Summe: H_22_JH = 55.556 W/K

Berlin, den 02. Juli 1985

Berechnung des Temperaturverlaufes in der Sperrschicht
von einseitig gekühlten Halbleiterbauelementen

Berechnung mit dem Heaviside'schen Entwicklungssatzes bei Vorgabe des
Temperaturverlaufes am Übergang zur Kühleinrichtung

ZHe_eK - Kassetten 73/74 - Version 1.0 - 01. Juli 1985 - Sz

Bauelement: Thyristor T 270 H 2000 ... 2600 (AEG AG)
Modell: Modell "junction-heatsink" [J-H]

Meßstelle: Anlageflächen des Kühlelementes (heatsink)
Kühlung: Aluminium-Kühlkörper bei verstärkter Luftkühlung
Kühlmittel: Luft mit einem Volumenstrom von 150 m³/h

Daten des gemessenen Verlaufes der (bezogenen) Temperatur
am Übergang Halbleiterbauelement - Kühleinrichtung:

Verlustleistungssprung	P_J	=	300.0 W
Kühlmittelzuflußtemperatur	θ_{JA}	=	40.0 °C

Z_11_HA ^x (01)	=	-6254.525 μ K/W	$\tau_{11_HA^x}$ (01)	=	661.397 ms
Z_11_HA ^x (02)	=	55.425 mK/W	$\tau_{11_HA^x}$ (02)	=	7928.398 ms
Z_11_HA ^x (03)	=	23.007 mK/W	$\tau_{11_HA^x}$ (03)	=	29.649 s
Z_11_HA ^x (04)	=	77.823 mK/W	$\tau_{11_HA^x}$ (04)	=	130.488 s

Summe: Z_11_HA^x = 150.000 mK/W

Parameter der Antwort des Systems an der Sperrschicht:

C_th_JA (00,0)	=	248.000 mK/W	τ_{th_JA} (01)	=	1035.274 μ s
C_th_JA (01,0)	=	-721.732 μ K/W	τ_{th_JA} (02)	=	6744.398 μ s
C_th_JA (02,0)	=	-5064.302 μ K/W	τ_{th_JA} (03)	=	64.671 ms
C_th_JA (03,0)	=	-18.721 mK/W	τ_{th_JA} (04)	=	661.397 ms
C_th_JA (04,0)	=	-29.868 mK/W			
C_th_JA (04,1)	=	-4841.881 μ K/Ws	τ_{th_JA} (05)	=	2110.162 ms
C_th_JA (05,0)	=	-5519.167 μ K/W	τ_{th_JA} (06)	=	7928.398 ms
C_th_JA (06,0)	=	-83.160 mK/W	τ_{th_JA} (07)	=	29.649 s
C_th_JA (07,0)	=	-25.397 mK/W	τ_{th_JA} (08)	=	130.488 s
C_th_JA (08,0)	=	-79.549 mK/W			

Parameter des Leistungsverlaufes am Übergang [H]:

C_pg_H (00,0)	=	1000.000 10^{-3}	τ_{pg_H} (01)	=	1035.274 μ s
C_pg_H (01,0)	=	-2270.214 10^{-12}	τ_{pg_H} (02)	=	6744.398 μ s
C_pg_H (02,0)	=	4543.482 10^{-9}	τ_{pg_H} (03)	=	64.671 ms
C_pg_H (03,0)	=	-3887.746 10^{-6}	τ_{pg_H} (04)	=	661.397 ms
C_pg_H (04,0)	=	210.357 10^{-3}			
C_pg_H (04,1)	=	128.238 $10^{-3}/s$	τ_{pg_H} (05)	=	2110.162 ms
C_pg_H (05,0)	=	-153.681 10^{-3}	τ_{pg_H} (06)	=	7928.398 ms
C_pg_H (06,0)	=	-912.551 10^{-3}	τ_{pg_H} (07)	=	29.649 s
C_pg_H (07,0)	=	-81.148 10^{-3}	τ_{pg_H} (08)	=	130.488 s
C_pg_H (08,0)	=	-59.095 10^{-3}			

SERIEN

Bild 5: Ersatzschaltbild eines Thyristors und seine Hybridparameter im Zeitbereich.

Bild 6: Ergebnis der Exponentialsummenzerlegung des Temperaturverlaufes am Übergang und numerische Darstellung der Lösung.

SERIEN

schen Ersatzschaltbildes nach den Ausführungen in [21] und [22]. Anschließend wird das Ergebnis der Exponentialsummenzerlegung (nach [18] und [19]) in den Bildbereich transformiert. In Zeile 1670 werden die Pole der H-Matrix (Nullstellen von $\ell(\rho)$) errechnet und anschließend werden die H-Parameter zur Demonstration in den Zeitbereich transformiert. Da $H_{22}(\rho)$ eine unechtgebrochene rationale Funktion ist, wird der ganzrationale Anteil mit Hilfe des SUB-Programmes Rest_division abgespalten. Der Wert von $Hf1(1)$ entspricht dabei dem DIRAC-Impuls $\delta(t)$ und der von $Hf1(0)$ dem Einheitssprung $\epsilon(t)$. In den Zeilen 2370 bis 2630 erfolgt eine Prüfung auf das Auftreten gleicher Nullstellen in den Polynomen $\ell(\rho)$ und $n_{GA}(\rho)$. Dabei ist vorausgesetzt, daß die Zeitkonstanten in den Vektoren $\text{Gamma_th}(\ast)$ und $\text{Tau_kd}(\ast)$ aufsteigend sortiert vorliegen. Die eigentliche Berechnung erfolgt in den Zeilen 2650 und 2720 konsequent nach den Gln. (127) und (128). Anschließend ist noch ein Unterprogramm zur konkreten Berechnung der Ergebnisse im Zeitbereich dargestellt. Die in dem Listing 22 fehlenden Zeilen dienen der Ein- und Ausgabe der Ergebnisse und zur Steuerung der Graphik.

Die Bilder 5 bis 7 zeigen konkrete Rechenergebnisse. Im Bild 5 sind die thermischen Eigenschaften des betrachteten Halbleiterbauelementes dargestellt. Die gemessenen und ausgewerteten Ausgangsdaten sowie die Lösung in ihrer numerischen Form sind im Bild 6 abgedruckt, während Bild 7 die entsprechenden graphischen Darstellungen zeigt.

10 Zusammenfassung

In der nun vollständig vorliegenden Arbeit wurden einige Möglichkeiten zur Anwendung von Polynomen aufgezeigt. Dabei wurde weniger Wert auf mathematische Exaktheit und mehr Wert auf praktische Brauchbarkeit und leichtes Verständnis der Abhandlungen gelegt. Die meisten skizzierten Anwendungsfälle wurden mit praktisch erprobten BASIC-Programmen in strukturiertem HP-BASIC, dessen Sprachumfang mit normalem BASIC kaum vergleichbar ist und mehr an ALGOL oder PASCAL erinnert, unterstützt.

Die Programme sind für die konkrete Arbeit im Labor entstanden und sind deshalb in bezug auf Rundungseigenschaften und Fehlerbehandlung nur soweit optimiert worden, wie es für die Anwendungsfälle nötig war. Es sind sicher Aufgabenstellungen denkbar, bei denen Verbesserungen erforderlich sind. Aber die-

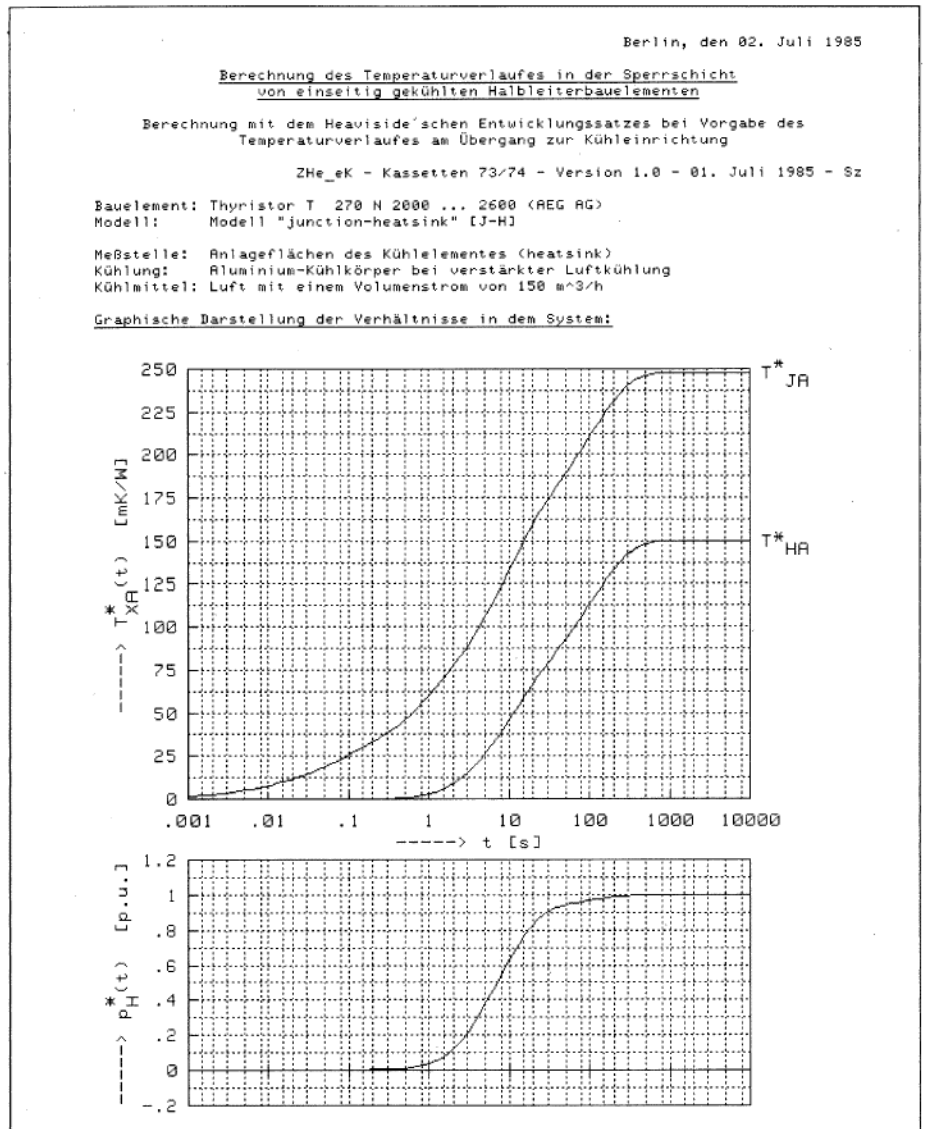


Bild 7: Graphische Darstellung der berechneten Verläufe der Temperatur in der Sperrschicht und des Leistungsverlaufes am Übergang und des gemessenen Temperaturverlaufes am Übergang.

se Serie sollte ja in erster Linie Anregungen zur Weiterarbeit und keine Rezepte liefern. Der Autor hofft, daß die Arbeit auch so verstanden und benutzt wird.

Literatur

- [13] G. DOETSCH: „Handbuch der Laplace-Transformation“, Bd. I, II, III. Birkhäuser Verlag, Basel, Stuttgart (1950–56).
- [14] G. DOETSCH: „Anleitung zum praktischen Gebrauch der Laplace-Transformation und der Z-Transformation“. Oldenbourg-Verlag München, Wien (1967).
- [15] K. SIMONYI: „Theoretische Elektrotechnik“. Dtsch. Vlg. Wissenschaften, Berlin (1977).
- [16] U. GRIGULL und H. SANDNER: „Wärmeleitung“. Springer-Verlag Berlin, Heidelberg, New York (1979).

- [17] C. L. BEUKEN: „Wärmeverluste bei periodisch betriebenen elektrischen Öfen.“ Dissertation Sächsische Bergakademie Freiberg (1936).
- [18] W. KÖCHLI: „Identifikation des thermischen Verhaltens einer Hochleistungsdiode“. Dissertation ETH Zürich (1969).
- [19] W. BÜTTNER: „Ein numerisches Verfahren zur Exponentialapproximation von transienten Wärmewiderständen“. Archiv für Elektrotechnik 59 (1977) 351–359.
- [20] H. MÜLLER: „Berechnung des transienten thermischen Verhaltens von Halbleiterventilen im Bereich kurzer Zeiten“. Dissertation RWTH Aachen (1972).
- [21] J. SCHWARZ: „Kühlung von Leistungshalbleitern“. Elektronik Journal 20 (1985) 13/14, 38–43
- [22] J. SCHWARZ: „Junction- und Case-Temperatur“. Elektronik Journal 20 (1985) 17, 60–66

Abstract

Jürgen Schwarz

298 Behandlung von Polynomen – Teil 5

In diesem letzten Teil der Serie geht es um konkrete Anwendungen der bisher betrachteten SUB-Programme.